



## کاربرد روش موجک لژاندر همراه با قانون مربعی گاوس در حل معادلات انتگرال - دیفرانسیل کسری

محسن ریاحی بنی<sup>۱\*</sup>

(۱) گروه ریاضی، مجتمع آموزش عالی سراوان، سراوان، ایران

دبیر مسئول: عبدالرحمن رازانی

تاریخ پذیرش: ۱۴۰۰/۵/۱

تاریخ دریافت: ۱۳۹۹/۱۲/۲۰

چکیده: در این مقاله، روشی جدید برای حل معادلات انتگرال - دیفرانسیل ولترا - فردهلم کسری غیرخطی پیشنهاد شده است. این روش تابع مجهول مسئله را توسط موجک‌های لژاندر تقریب می‌زند. برای انجام این کار، موجک‌های لژاندر به همراه قانون مربعی گاوس برای تبدیل مسئله به یک سیستم خطی یا غیرخطی از معادلات جبری استفاده می‌شود که این سیستم به سادگی با استفاده از فن‌های برنامه‌نویسی ریاضی قابل حل است. علاوه بر این، وجود و یکتایی راه حل ارائه شده با استفاده از برخی قضایا و لم‌ها اثبات می‌شود. همچنین تخمین خطا و تحلیل همگرایی این روش نشان داده خواهد شد. علاوه بر این، به منظور نشان دادن قابلیت و دقت این روش، چند مثال عددی بیان شده است و نتایج به دست آمده از این مثال‌ها با نتایج به دست آمده از روش‌های موجک چبیشف، روش توابع کلاهی توسعه یافته و روش نیستروم و نیوتن - کانتورویچ مقایسه شده‌اند.

واژه‌های کلیدی: موجک لژاندر، مربع سازی گاوس، روش هم محلی، معادلات انتگرال - دیفرانسیل ولترا - فردهلم کسری.

رده بندی ریاضی: 47G20; 65T60; 34A08.

### ۱ مقدمه

اگرچه حسابان کسری سابقه‌ای طولانی دارد، اما در سال‌های اخیر کاربردهای بسیاری از آن در فیزیک و دیگر علوم مشاهده شده است. بسیاری از پدیده‌های فیزیکی را می‌توان با استفاده از حسابان کسری مدل سازی کرد. کاربردهای معادلات دیفرانسیل کسری و معادلات انتگرال کسری، حوزه وسیعی از تحقیقات را برای بسیاری از محققان ایجاد کرده است. این محاسبات برای مدل سازی نوسان غیرخطی زلزله، دینامیک سیالات، رفتار میرایی وابسته به فرکانس بسیاری از مواد ویسکوالاستیک، مکانیک پیوسته و آماری، مکانیک جامدات، اقتصاد، پردازش سیگنال و نظریه کنترل به کار گرفته شده است. به منظور تحلیل بهتر این سیستم‌ها، لازم است که جواب این معادلات به دست آید. اما اغلب حل تحلیلی این معادلات ممکن نیست، بنابراین یافتن راه حل‌های عددی دقیق تر می‌تواند مفید باشد. در نوشته‌های متعدد، روش‌های مختلفی برای حل معادلات دیفرانسیل معمولی کسری، معادلات دیفرانسیل جزئی کسری، معادلات انتگرال - دیفرانسیل کسری و سیستم‌های دینامیک با مشتقات کسری مانند روش‌های تحلیلی و نیمه تحلیلی (روش تحلیل هموتوبی، روش تجزیه آدومیان و غیره) [۱، ۸، ۹، ۱۱، ۱۳، ۲۳، ۲۸] و روش‌های عددی

\*نویسنده مسئول مقاله

(روش های تفاضل متناهی، روش هم محلی و غیره) [۳، ۴، ۱۰، ۱۵، ۱۷، ۲۲، ۲۴] ارائه شده است. می توانیم روش های مشهور دیگری را برای حل عددی این نوع معادلات بیابیم. برای مثال، می توان به روش هایی از جمله هم محلی اسپالین [۲۷]، تبدیل دیفرانسیل کسری [۱۹]، حداقل مربعات [۱۶]، تابع هار منطقی [۲۱]، روش تابع نمایی [۶] و بسیاری دیگر اشاره نمود. روش موجک چیشف در مرجع [۱۸] برای معادلات انتگرال - دیفرانسیل ولترا - فردهلم کسری غیرخطی با شرایط مرزی مختلط استفاده شده است. جواب های تقریبی معادلات انتگرال - دیفرانسیل ولترا - فردهلم از مرتبه کسری بر اساس روش هم محلی سینک در [۲] مورد بحث قرار گرفته است. در [۱۴]، روش های نیستروم و نیوتن - کانتورویچ برای حل معادلات انتگرال - دیفرانسیل ولترا - فردهلم کسری با شرایط مرزی مختلط توصیف شده اند. در مرجع [۲۰] حل عددی معادلات انتگرال - دیفرانسیل کسری غیرخطی با هسته های ضعیف منفرد توسط روش توابع کلاهی توسعه یافته (MHFS)† مورد بحث قرار گرفته است. در [۲۵] سیستم های معادلات انتگرال - دیفرانسیل با استفاده از روش موجک نوع دوم طیفی چیشف حل شده اند. همچنین معادلات غیرخطی انتگرال - دیفرانسیل ولترا مرتبه کسری به صورت عددی با استفاده از روش موجک اویلر توسط ونگ حل شده است [۲۶]. در [۷] روش اصلاح شده ی تجزیه لاپلاس آدومیان برای حل معادلات انتگرال ولترا - فردهلم غیرخطی به کار گرفته شده است. عرفانیان و همکارانش [۵] از پایه های موجک هار برای حل معادله انتگرال - دیفرانسیل استفاده نموده اند. در [۱۲] از توابع بلاک - پالس برنشتاین پیوندی برای حل سیستم معادلات انتگرال - دیفرانسیل کسری استفاده شده است.

چند جمله ای ها و توابع متعامد به دلیل داشتن برخی ویژگی های درخور، برای حل مسایل مختلف مناسب اند. این توابع به همراه روش هایی از جمله هم محلی، گالکین و تاو برای حل معادلات به کار گرفته شده اند؛ که باعث می شوند معادلات مورد بررسی به یک سیستم از معادلات جبری تبدیل شوند. در این مقاله، موجک های لژاندر برای به دست آوردن پاسخ معادلات FVFIDES به کار گرفته شده اند. این معادلات در یک فضای باناخ به شکل زیر داده می شوند:

$$({}^C D_x^\alpha y)(x) + Vy(x) + Fy(x) = g(x), \quad m - 1 < \alpha \leq m, \quad m \in \mathbb{N}, \quad (1.1)$$

که در آن  ${}^C D_x^\alpha$  مشتق کسری از نوع کاپوتو است،  $g(x)$  تابع پیوسته و معلوم است،  $x \in J = [a, b]$ ،  $y(x)$  تابع مجهول مسئله و

$$Vy(x) = \int_a^x k_1(x, \xi) N_1(y(\xi)) d\xi, \quad Fy(x) = \int_a^b k_2(x, \xi) N_2(y(\xi)) d\xi,$$

که در آن  $k_i : J \times J \rightarrow \mathbb{R}$ ،  $i = 1, 2$ ، توابع پیوسته بوده و  $N_i : J \times \mathbb{R} \rightarrow \mathbb{R}$ ،  $i = 1, 2$ ، توابع پیوسته غیرخطی لیبشیتزاند. معادله (۱.۱) تحت تسلط شرایط مرزی زیر قرار دارد:

$$\sum_{j=1}^m [\lambda_{ij} y^{(j-1)}(a) + \eta_{ij} y^{(j-1)}(b)] = \gamma_i, \quad i = 1, 2, \dots, m. \quad (2.1)$$

مهم ترین مشخصه ای این تکنیک این است که این مسایل را به یک سیستم جبری از معادلات تبدیل می نماید. این رویکرد مبتنی بر تبدیل معادلات انتگرال - دیفرانسیل ولترا - فردهلم کسری (FVFIDES)‡ به معادلات انتگرالی ترکیبی ولترا - فردهلم از طریق یکپارچه سازی، تقریب جملات مختلف در معادله با استفاده از سری بریده شده موجک لژاندر و استفاده از ماتریس های عملیاتی برای حذف انتگرال، مشتق و عملگرهای حاصل ضرب بنا نهاده شده است.

ادامه مقاله بدین شرح سازمان دهی شده است: در بخش دوم، برخی مقدمات مهم ریاضی و تعاریف مختلف از حسابان کسری آورده شده است. در بخش سوم، خواص موجک های لژاندر و تقریب توابع مورد بحث قرار گرفته است. در بخش بعدی، روش موجک لژاندر مربعی گاوس (GQLWM)§ برای حل FVFIDES ساخته شده است. در بخش پنجم، همگرایی و تحلیل خطا از روش GQLWM مورد بحث قرار گرفته است. یکتایی و وجود جواب در بخش ششم بیان شده است. در بخش هفتم به منظور نشان دادن کارایی و دقت روش بیان شده، دو مثال عددی ارائه گردیده و در بخش آخر نیز، به طور مختصری نتایج آورده شده است.

## ۲ تعاریف پایه ای و اطلاعاتی از حسابان کسری

در این بخش، به بیان برخی خواص و تعاریف از محاسبات کسری که در ادامه مقاله مورد نیازند، خواهیم پرداخت.

تعریف ۱.۲. تابع گاما ذاتا با حسابان کسری گره خورده است. تعریف این تابع به شکل زیر است:

$$\Gamma(\alpha) = \int_0^\infty e^{-\xi} \xi^{\alpha-1} d\xi, \quad \text{Re}(\alpha) > 0.$$

† Modification of hat functions

‡ Fractional Volterra-Fredholm integro-differential equations

§ Gauss quadrature Legendre wavelet method

تعریف ۲.۲. برای هر  $x > 0$  و  $\theta \in \mathbb{R}$  گوییم تابع حقیقی  $g(x)$ ، در فضای  $C_\theta$  قرار گرفته است اگر عددی حقیقی چون  $p > \theta$  موجود باشد به طوری که  $g(x) = x^p g_1(x)$ ، که در آن  $g_1(x) \in C[0, \infty)$  و می‌گوییم تابع  $g(x)$  در فضای  $C_\theta^k$  قرار دارد هرگاه  $g^{(k)} \in C_\theta$  که در آن  $k \in \mathbb{N} \cup \{0\}$ .

تعریف ۳.۲. انتگرال کسری ریمان - لیوویل از مرتبه  $\alpha > 0$ ، از تابع  $g \in C_\theta$ ،  $\theta \geq -1$  به صورت زیر تعریف شده است:

$${}_x I_x^\alpha g(x) = \frac{1}{\Gamma(\alpha)} \int_0^x (x - \xi)^{\alpha-1} g(\xi) d\xi.$$

برخی خواص انتگرال کسری ریمان - لیوویل به صورت زیر قابل بیان‌اند:

$${}_x I_x^\alpha g(x) = g(x) \quad (1)$$

$$({}_x I_x^\alpha \circ {}_x I_x^\beta g)(x) = ({}_x I_x^\beta \circ {}_x I_x^\alpha g)(x) = ({}_x I_x^{\alpha+\beta} g)(x) \quad (2)$$

$${}_x I_x^\alpha (x - \mu)^\lambda = \frac{\Gamma(\lambda+1)}{\Gamma(\alpha+\lambda+1)} (x - \mu)^{\alpha+\lambda} \quad (3)$$

۴. مشابه با انتگرال گیری مرتبه صحیح، انتگرال کسری ریمان - لیوویل یک عملگر خطی است، بدین معنی که

$${}_x I_x^\alpha \left( \sum_{i=1}^m c_i f_i(x) \right) = \sum_{i=1}^m c_i ({}_x I_x^\alpha f_i(x)),$$

که در آن  $\{c_i\}_{i=1}^m$  ثابت‌اند.

تعریف ۴.۲. مشتق کسری تابع  $g(x)$  در مفهوم کاپوتو برای هر  $n \in \mathbb{N}$ ،  $n - 1 < \alpha \leq n$  و  $x > 0$ ،  $g \in C_{-1}^n$  به شکل زیر تعریف می‌گردد:

$${}^C D_x^\alpha g(x) = {}_x I_x^{n-\alpha} g^{(n)}(x).$$

روابط بین عملگر ریمان - لیوویل و عملگر کاپوتو در لم زیر آورده شده است.

لم ۵.۲. اگر  $n \in \mathbb{N}$ ،  $n - 1 < \alpha \leq n$  آنگاه

$${}^C D_x^\alpha \circ {}_x I_x^{n-\alpha} g(x) = g(x),$$

9

$${}_x I_x^{n-\alpha} {}^C D_x^\alpha g(x) = g(x) - \sum_{k=0}^{n-1} g^{(k)}(0^+) \frac{x^k}{k!}, \quad x > 0.$$

### ۳ موجک‌های لژاندر و تقریب توابع

موجک‌ها خانواده بزرگی از توابع‌اند که توسط اتساع و انتقال از یک تابع منفرد، به نام موجک مادر تولید می‌شوند. زمانی که پارامتر اتساع  $a$  و پارامتر انتقال  $b$  پیوسته باشند، خانواده موجک‌های پیوسته به صورت زیر را خواهیم داشت:

$$\Psi_{a,b}(x) = |a|^{-\frac{1}{\nu}} \Psi\left(\frac{x}{a} - \frac{b}{a}\right), \quad a, b \in \mathbb{R}, \quad a \neq 0.$$

اگر پارامترهای  $a$  و  $b$  را محدود به مقادیر گسسته  $a = a_0^{-k}$  و  $b = nb_0 a_0^{-k}$  نماییم، (که در آن  $a_0 > 0$ ،  $b_0 > 0$  و  $k$  اعداد صحیح و مثبت‌اند) خانواده‌ی موجک‌های گسسته به فرم زیر به دست خواهد آمد:

$$\psi_{k,n}(x) = |a_0|^{-\frac{k}{\nu}} \psi(a_0^k x - nb_0),$$

که در آن  $\psi_{k,n}(x)$  شکل پایه موجک در  $L^2(\mathbb{R})$  است. به طور خاص، با مقادیر  $a_0 = 2$  و  $b_0 = 1$ ،  $\psi_{k,n}(x)$  فرم پایه متعامد یک‌ه است. موجک‌های لژاندر  $\psi_{n,m}(x) = \psi(k, \hat{n}, m, x)$  چهار پارامتر دارند؛  $\hat{n} = 2n - 1$  برای  $n = 1, 2, \dots, 2^{k-1}$

$k \in \mathbb{Z}^+$  عدد  $m$  به عنوان درجه چندجمله‌ای‌های لژاندر و  $x$  که بیان گر زمان نرمال شده است. این چندجمله‌ای‌ها در بازه  $[0, 1]$  تعریف شده و به شکل زیرند:

$$\psi_{n,m}(x) = \psi(k, \hat{n}, m, x) = \begin{cases} \sqrt[k]{\sqrt[k]{2m+1}} L_m^*(x), & \frac{\hat{n}-1}{\sqrt[k]{2}} \leq x < \frac{\hat{n}+1}{\sqrt[k]{2}}, \\ 0, & \text{otherwise,} \end{cases} \quad (1.3)$$

که در آن  $a = \sqrt[k]{2m+1}$  و  $b = \hat{n}\sqrt[k]{2}$  به ترتیب پارامترهای اتساع و انتقال نامیده می‌شوند.  $L_m^*(x) = L_m(\sqrt[k]{2}x - \hat{n})$  چندجمله‌ای‌های لژاندر انتقال یافته در بازه  $[0, 1]$  اند که نسبت به تابع وزن  $w(x) = 1$  در این بازه متعامند. همچنین،  $L_m$ -ها توسط فرمول بازگشتی زیر قابل محاسبه اند:

$$\begin{aligned} L_0(x) &= 1, \quad L_1(x) = x, \\ L_{m+1}(x) &= \left(\frac{\sqrt[k]{2m+1}}{m+1}\right) x L_m(x) - \left(\frac{m}{m+1}\right) L_{m-1}(x), \quad m = 1, 2, \dots \end{aligned}$$

### ۱.۳ تقریب توابع توسط موجک‌های لژاندر

تابع انتگرال‌پذیر  $y(x)$  در بازه  $[0, 1]$  را می‌توان توسط موجک‌های لژاندر به شکل صریح

$$y(x) = \sum_{n \in \mathbb{N}} \sum_{m \in \mathbb{N} \cup \{0\}} y_{n,m} \psi_{n,m}(x), \quad (2.3)$$

بیان نمود. که در آن  $y_{n,m} = \langle y(x), \psi_{n,m}(x) \rangle$  و  $\langle \cdot, \cdot \rangle$  نشان دهنده ضرب داخلی است. اگر سری نامتناهی بیان شده در فرمول (۲.۳) قطع شود، آنگاه تابع  $y(x)$  به طور تقریبی با فرمول زیر به دست می‌آید:

$$y(x) \simeq \sum_{n=1}^{\sqrt[k]{2}-1} \sum_{m=0}^{M-1} y_{n,m} \psi_{n,m}(x) = \mathbf{Y}^T \boldsymbol{\Psi}(x), \quad (3.3)$$

که در آن بردار ضرایب  $\mathbf{Y}$  و تابع برداری  $\boldsymbol{\Psi}(x)$  به شکل زیر بیان می‌شوند:

$$\begin{aligned} \mathbf{Y} &= [y_{1,0}, y_{1,1}, \dots, y_{1,M-1}, y_{2,0}, y_{2,1}, \dots, y_{2,M-1}, \dots, y_{\sqrt[k]{2}-1,0}, y_{\sqrt[k]{2}-1,1}, \dots, y_{\sqrt[k]{2}-1,M-1}]^T, \quad (4.3) \\ \boldsymbol{\Psi}(x) &= [\psi_{1,0}(x), \psi_{1,1}(x), \dots, \psi_{1,M-1}(x), \dots, \psi_{\sqrt[k]{2}-1,0}(x), \psi_{\sqrt[k]{2}-1,1}(x), \dots, \psi_{\sqrt[k]{2}-1,M-1}(x)]^T. \quad (5.3) \end{aligned}$$

به طور مشابه می‌توان توابع  $k_i(x, \xi) \in L^2([0, 1] \times [0, 1])$  را به فرم زیر به طور تقریبی به دست آورد:

$$k_i(x, \xi) = \boldsymbol{\Psi}(x)^T \mathbf{K}_i \boldsymbol{\Psi}(\xi), \quad (6.3)$$

که در آن  $\mathbf{K}_i$ -ها برای  $i = 1, 2$  با بعد  $\sqrt[k]{2}-1 M \times \sqrt[k]{2}-1 M$  اند.

## ۴ روش موجک لژاندر مربعی گاوس برای حل FVFIDEs

معادله غیرخطی (۱.۱) را تحت شرایط مرزی مرکب (۲.۱) در نظر می‌گیریم. به منظور تقریب توابع  $y(x)$  و  $g(x)$  به ترتیب با رابطه‌های  $y(x) = \mathbf{Y}^T \boldsymbol{\Psi}(x)$  و  $g(x) = \mathbf{G}^T \boldsymbol{\Psi}(x)$  فرض کنیم:

$$N_1(y(\xi)) = u(\xi), \quad N_2(y(\xi)) = v(\xi), \quad (1.4)$$

که در این رابطه  $u(\xi)$  و  $v(\xi)$  به شکل:

$$u(\xi) = \mathbf{U}^T \boldsymbol{\Psi}(\xi), \quad v(\xi) = \mathbf{V}^T \boldsymbol{\Psi}(\xi), \quad (2.4)$$

بیان شده‌اند و  $\mathbf{U}^T$  و  $\mathbf{V}^T$  به‌طور مشابه با رابطه (۴.۳) قابل تعریف‌اند. با به‌کارگیری عملگر  $I_x^\alpha$  در دو سوی معادله (۱.۱) نتیجه زیر حاصل خواهد شد:

$$y(x) - \sum_{k=0}^{n-1} y^{(k)}(\circ^+) \frac{x^k}{k!} = \frac{1}{\Gamma(\alpha)} \int_0^x (x-\tau)^{\alpha-1} g(\tau) d\tau \quad (۳.۴)$$

$$\begin{aligned} & - \frac{1}{\Gamma(\alpha)} \int_0^x (x-\tau)^{\alpha-1} \int_0^\tau k_1(\tau, \xi) u(\xi) d\tau d\xi \\ & - \frac{1}{\Gamma(\alpha)} \int_0^x (x-\tau)^{\alpha-1} \int_0^1 k_2(\tau, \xi) v(\xi) d\tau d\xi. \end{aligned} \quad (۴.۴)$$

با قرار دادن  $\mathbf{Y}^T \Psi(x)$  به‌جای جواب دقیق  $y(x)$  و استفاده از تقریبات آنها و معادلات (۳.۳) و (۴.۳)-(۲.۴)، خواهیم داشت:

$$\begin{aligned} \mathbf{Y}^T \Psi(x) - \sum_{k=0}^{n-1} \mathbf{Y}^T \Psi^{(k)}(\circ^+) \frac{x^k}{k!} &= \frac{1}{\Gamma(\alpha)} \int_0^x (x-\tau)^{\alpha-1} \mathbf{G}^T \Psi(\tau) d\tau \\ & - \frac{1}{\Gamma(\alpha)} \int_0^x (x-\tau)^{\alpha-1} \int_0^\tau \Psi(\tau)^T \mathbf{K}_1 \Psi(\xi) \mathbf{U}^T \Psi(\xi) d\tau d\xi \\ & - \frac{1}{\Gamma(\alpha)} \int_0^x (x-\tau)^{\alpha-1} \int_0^1 \Psi(\tau)^T \mathbf{K}_2 \Psi(\xi) \mathbf{V}^T \Psi(\xi) d\tau d\xi. \end{aligned} \quad (۵.۴)$$

با قرار دادن  $M\Upsilon^{k-1}$  نقطه‌ی هم‌محلی  $x_j$ ،  $j = 1, 2, \dots, M\Upsilon^{k-1}$  بر بازه  $(\circ, 1)$ ، به سیستم زیر دست خواهیم یافت:

$$\begin{aligned} \mathbf{Y}^T \Psi(x_j) - \sum_{k=0}^{n-1} \mathbf{Y}^T \Psi^{(k)}(\circ^+) \frac{x_j^k}{k!} &= \frac{1}{\Gamma(\alpha)} \int_0^{x_j} (x_j-\tau)^{\alpha-1} \mathbf{G}^T \Psi(\tau) d\tau \\ & - \frac{1}{\Gamma(\alpha)} \int_0^{x_j} (x_j-\tau)^{\alpha-1} \int_0^\tau \Psi(\tau)^T \mathbf{K}_1 \Psi(\xi) \mathbf{U}^T \Psi(\xi) d\tau d\xi \\ & - \frac{1}{\Gamma(\alpha)} \int_0^{x_j} (x_j-\tau)^{\alpha-1} \int_0^1 \Psi(\tau)^T \mathbf{K}_2 \Psi(\xi) \mathbf{V}^T \Psi(\xi) d\tau d\xi. \end{aligned} \quad (۶.۴)$$

با راه حل مشابهی، شرایط مرزی مرکب (۲.۱) به‌شکل زیر تقریب خواهند شد:

$$\sum_{j=1}^m \left[ \lambda_{ij} \mathbf{Y}^T \Psi^{(j-1)}(\circ) + \eta_{ij} \mathbf{Y}^T \Psi^{(j-1)}(1) \right] = \gamma_i, \quad i = 1, 2, \dots, m. \quad (۷.۴)$$

اکنون به‌منظور تقریب انتگرال ظاهرشده در معادله (۶.۴) روش مربعی گاوس به‌کار گرفته می‌شود. (که با استفاده از تعداد  $M\Upsilon^{k-1}$  نقطه گاوس - لزاندر برای چندجمله‌ای‌های از درجه کوچکتر یا مساوی  $M\Upsilon^k + 1$  دقیق‌اند) برای انجام این مهم، تعداد  $M\Upsilon^{k-1}$  بازه‌ی  $[\circ, x_j]$  را توسط تبدیل  $\tau = (x_j/2)(s+1)$  به بازه‌ی  $[-1, 1]$  انتقال می‌دهیم. با روش مربعی گاوس، سیستم معادلات (۶.۴) به معادلات زیر تبدیل خواهد شد:

$$\begin{aligned} \mathbf{Y}^T \Psi(x_j) - \sum_{k=0}^{n-1} \mathbf{Y}^T \Psi^{(k)}(\circ^+) \frac{x_j^k}{k!} &= \frac{1}{\Gamma(\alpha)} \int_0^{x_j} (x_j-\tau)^{\alpha-1} \mathbf{G}^T \Psi(\tau) d\tau \\ & - \frac{1}{\Gamma(\alpha)} \frac{x_j}{2} \sum_{l=1}^{M\Upsilon^{k-1}} w_l \left( \frac{x_j}{2} (1-s_l) \right)^{\alpha-1} \int_0^\sigma [\Psi(\sigma)]^T \mathbf{K}_1 \Psi(\xi) \mathbf{U}^T \Psi(\xi) d\xi \\ & - \frac{1}{\Gamma(\alpha)} \frac{x_j}{2} \sum_{l=1}^{M\Upsilon^{k-1}} w_l \left( \frac{x_j}{2} (1-s_l) \right)^{\alpha-1} \int_0^1 [\Psi(\sigma)]^T \mathbf{K}_2 \Psi(\xi) \mathbf{V}^T \Psi(\xi) d\xi, \end{aligned} \quad (۸.۴)$$

که در این معادله  $\sigma = \frac{x_j}{\nu}(s_l + 1)$  و  $w_l$  برای هر  $l = 1, 2, \dots, M2^{k-1}$  توابع وزن در بازه  $[-1, 1]$  اند. با در نظر گرفتن معادلات (۱.۴)-(۲.۴) و استفاده از نقاط هم محلی  $x_j$ ،  $M2^{k-1}$ ،  $j = 1, 2, \dots, M$  خواهیم داشت:

$$N_1(\mathbf{Y}^T \Psi(x_j)) = \mathbf{U}^T \Psi(x_j), \quad N_2(\mathbf{Y}^T \Psi(x_j)) = \mathbf{V}^T \Psi(x_j). \quad (9.4)$$

با ترکیب معادلات (۷.۴)-(۹.۴)، مسئله اصلی تبدیل به یک سیستم از معادلات جبری خواهد شد. با حل این سیستم جبری، مقدار مجهول  $\mathbf{Y}^T$  به دست خواهد آمد؛ که با قرار دادن آن در رابطه (۳.۳) تقریبی از جواب سیستم معادلات (۱.۱) به دست می آید.

## ۵ همگرایی و تحلیل خطا

در این بخش، تقریبی از کران خطا را برای روش بیان شده به دست خواهیم آورد. همچنین، همگرایی روش مورد بحث قرار می گیرد. بدین منظور، فرض کنیم که

$$L_m^*(x) = L_m(2x - 1)$$

و

$$\mathbf{\Lambda}(x) = [L_0^*(x), L_1^*(x), \dots, L_N^*(x)]^T.$$

بنابراین، تابع  $y(x) \in L^\nu[0, 1]$  توسط پایه های چند جمله ای لژاندر به شکل زیر قابل بیان خواهد بود

$$y(x) \simeq \sum_{n=0}^N l_n L_n^*(x) = \mathbf{L}^T \mathbf{\Lambda}(x),$$

که در آن  $\mathbf{L} = [l_0, l_1, \dots, l_N]^T$

لم ۱.۵. فرض کنیم تابع  $y \in C^{m+1}[0, 1]$  و  $S = \text{span}\{L_0^*, L_1^*, \dots, L_N^*\}$  یک فضای برداری باشد. اگر  $\mathbf{L}^T \mathbf{\Lambda}(x)$  بهترین تقریب از تابع  $y(x)$  در  $S$  باشد، آنگاه کران خطای روش به شکل زیر خواهد بود:

$$\|y - \mathbf{L}^T \mathbf{\Lambda}\|_\nu \leq \frac{\sqrt{2} \chi^{\nu m + \nu} M_{m+1}}{(m+1)! \sqrt{2m+3}},$$

که در آن  $\chi = \max\{1 - \xi, \xi\}$  و  $M_{m+1} = \max\{|f^{m+1}(x)| : 0 \leq x \leq 1\}$

اثبات. بنابه بسط چند جمله ای های تیلور،  $\xi \in (0, 1)$  چنان موجود است که:

$$Ty(x) = y_0(\xi) + (x - \xi)y'(\xi) + \frac{(x - \xi)^2}{2!}y''(\xi) + \dots + \frac{(x - \xi)^m}{m!}y^{(m)}(\xi).$$

بنابراین، عددی چون  $\lambda \in (0, 1)$  وجود دارد به طوری که:

$$|y(x) - Ty(x)| \leq \left| \frac{(x - \xi)^{m+1}}{(m+1)!} y^{(m+1)}(\lambda) \right|.$$

از طرفی چون  $\mathbf{L}^T \mathbf{\Lambda}(x)$  بهترین تقریب از تابع  $y(x)$  است، پس خواهیم داشت:

$$\begin{aligned} \|y - \mathbf{L}^T \mathbf{\Lambda}\|_\nu &\leq \|y - Ty\|_\nu = \int_0^1 |y(x) - Ty(x)|^\nu dx \leq \int_0^1 \left| \frac{(x - \xi)^{m+1}}{(m+1)!} y^{(m+1)}(\lambda) \right|^\nu dx \\ &\leq \frac{M_{m+1}^\nu}{[(m+1)!]^\nu} \int_0^1 (x - \xi)^{\nu m + \nu} dx \leq \frac{2 \chi^{\nu m + \nu} M_{m+1}^\nu}{(\nu m + \nu)[(m+1)!]^\nu}, \end{aligned}$$

□

و اثبات تمام است.

قضیه ۲.۵. گیریم  $y \in C^{m+1}[0, 1]$  و به شکل  $\tilde{y}(x) = \mathbf{Y}^T \Psi(x)$  توسط موجک‌های لژاندر تقریب شده باشد. در این صورت متوسط خطای آن عبارت است از:

$$\|y - \tilde{y}\|_{\mathcal{Y}} \leq \frac{\mathcal{Y}^{(m+1)(1-k)} \sqrt{\mathcal{Y}} M_{m+1}}{(m+1)! \sqrt{\mathcal{Y}m + \mathcal{Y}}}.$$

اثبات. با افراز بازه‌ی  $[0, 1]$  به  $\mathcal{Y}^{k-1}$  زیر بازه به شکل  $[(n-1)/\mathcal{Y}^{k-1}, n/\mathcal{Y}^{k-1}]$   $I_{k,n}$   $n = 1, 2, \dots, \mathcal{Y}^{k-1}$  با این محدودیت که  $\tilde{y}$  یک چندجمله‌ای از درجه کمتر از  $m+1$  است و استفاده از لم ۱.۵، خواهیم داشت:

$$\begin{aligned} \|y - \tilde{y}\|_{\mathcal{Y}}^{\mathcal{Y}} &\leq \int_0^1 |y(x) - \tilde{y}(x)|^{\mathcal{Y}} dx = \sum_{n=1}^{\mathcal{Y}^{k-1}} \int_{\frac{n-1}{\mathcal{Y}^{k-1}}}^{\frac{n}{\mathcal{Y}^{k-1}}} |y(x) - \tilde{y}(x)|^{\mathcal{Y}} dx \\ &\leq \sum_{n=1}^{\mathcal{Y}^{k-1}} \left[ \frac{\sqrt{\mathcal{Y}} \bar{M}_n \mathcal{Y}^{\frac{(1-k)(\mathcal{Y}m+\mathcal{Y})}{\mathcal{Y}}}}{(m+1)! \sqrt{\mathcal{Y}m + \mathcal{Y}}} \right]^{\mathcal{Y}} = \frac{\mathcal{Y}^{(1-k)(\mathcal{Y}m+\mathcal{Y})+1}}{[(m+1)!]^{\mathcal{Y}} (\mathcal{Y}m + \mathcal{Y})} \sum_{n=1}^{\mathcal{Y}^{k-1}} \bar{M}_n^{\mathcal{Y}} \\ &\leq \frac{\mathcal{Y}^{(1-k)(\mathcal{Y}m+\mathcal{Y})+1} M_{m+1}^{\mathcal{Y}}}{[(m+1)!]^{\mathcal{Y}} (\mathcal{Y}m + \mathcal{Y})}, \end{aligned}$$

که در آن  $\bar{M}_n = \max \{ |y^{(m+1)}(x)|, x \in I_{k,n} \}$ .

لم ۳.۵. گیریم برای هر  $y(x) \in [0, 1]$  عددی چون  $\beta_y \in \mathbb{R}$  موجود است طوری که  $|y(x)| \leq \beta_y$ . آنگاه، مجموع ضرایب لژاندر از تابع  $y(x)$  که در رابطه (۳.۳) بیان گردیده است، به طور مطلق همگرا است هرگاه  $|y_{n,m}| \leq \sqrt{\mathcal{Y}^{1-k}} \beta_y$ .

اثبات. تابع  $y(x) \in L^{\mathcal{Y}}[0, 1]$  را می‌توان توسط پایه‌های موجک لژاندر توسط رابطه‌ی (۳.۳) بیان نمود. برای هر  $m \geq 0$  داریم:

$$\begin{aligned} |y_{n,m}| &= | \langle y, \psi_{n,m} \rangle | = \left| \int_0^1 y(x) \psi_{n,m}(x) dx \right| \leq \int_0^1 |y(x)| |\psi_{n,m}(x)| dx \\ &\leq \beta_y \int_0^1 |\psi_{n,m}(x)| dx = \beta_y \int_{I_{n,k}} |\psi_{n,m}(x)| dx \\ &= \beta_y \mathcal{Y}^{\frac{k-1}{\mathcal{Y}}} (\mathcal{Y}m + 1)^{\frac{1}{\mathcal{Y}}} \int_{I_{n,k}} |L_m(\mathcal{Y}^k x - \mathcal{Y}n + 1)| dx. \end{aligned}$$

با فرض  $s = \mathcal{Y}^k x - \mathcal{Y}n + 1$  خواهیم داشت:

$$|y_{n,m}| \leq \beta_y \mathcal{Y}^{\frac{k-1}{\mathcal{Y}}} (\mathcal{Y}m + 1)^{\frac{1}{\mathcal{Y}}} \int_{-1}^1 |L_m(s)| ds.$$

نامساوی هولدر ایجاب می‌کند که:

$$|y_{n,m}| \leq \beta_y \mathcal{Y}^{\frac{k-1}{\mathcal{Y}}} (\mathcal{Y}m + 1)^{\frac{1}{\mathcal{Y}}} \frac{\mathcal{Y}}{\sqrt{\mathcal{Y}m + 1}} = \sqrt{\mathcal{Y}^{1-k}} \beta_y.$$

این به معنی آن است که وقتی  $k \rightarrow \infty$  سری  $\sum_{n=1}^{\mathcal{Y}^{k-1}} \sum_{m=0}^{M-1} y_{n,m}$  به طور مطلق همگرا است.

قضیه ۴.۵. سری  $\tilde{y}(x) = \sum_{n=1}^{\mathcal{Y}^{k-1}} \sum_{m=0}^{M-1} y_{n,m} \psi_{n,m}(x)$  که توسط رابطه‌ی (۳.۳) تعریف شده است، با نرم  $\mathcal{Y}$  در بازه  $[0, 1]$  همگرا است، هرگاه مجموع مقادیر قدرمطلق ضرایب لژاندر  $\sum_{n=1}^{\mathcal{Y}^{k-1}} \sum_{m=0}^{M-1} |y_{n,m}|$  برای تابع پیوسته  $y(x)$  یک سری همگرا باشد.

اثبات. گیریم  $L^{\mathcal{Y}}(\mathbb{R})$  یک فضای هیلبرت بوده و  $\psi_{n,m}$  که در رابطه‌ی (۱.۳) داده شده است، یک پایه‌ی متعامد باشد. همچنین قرار می‌دهیم  $\psi_{n,m}(x) = \Delta_j(x)$  و  $\delta_j = \langle \tilde{y}(x), \Delta_j(x) \rangle$ . مجموع جزئی  $\{S_n\}$  را به شکل زیر تعریف می‌کنیم:

$$S_n(x) = \sum_{j=0}^n \delta_j \Delta_j(x).$$

اکنون، برای هر  $\epsilon > 0$ ،  $N_\epsilon > 0$  وجود دارد به طوری که برای هر  $n > m > N_\epsilon$  داریم:

$$\begin{aligned} \|S_n(x) - S_m(x)\|_p^2 &= \int_0^1 \left| \sum_{l=m+1}^n \delta_l \Delta_l(x) \right|^2 dx \leq \sum_{l=m+1}^n |\delta_l|^2 \int_0^1 |\Delta_l(x)|^2 dx \\ &= \sum_{l=m+1}^n |\delta_l|^2. \end{aligned}$$

بنابراین  $\sum_{l=0}^{\infty} |\delta_l|^2$  مجموع همگرایی مطلق است؛ از این رو، بنا به محک کوشی داریم:

$$\sum_{l=m+1}^n |\delta_l|^2 < \epsilon^2.$$

پس،  $\epsilon = \sqrt{\epsilon^2} = \|S_n(x) - S_m(x)\|_p \leq \sqrt{\epsilon^2} = \epsilon$ . بنابراین دنباله مجموع این سری، یک سری کوشی است، پس سری با نرم ۲- همگرا است.  $\square$

## ۶ وجود و یکتایی

به منظور مطالعه یکتایی جواب معادلات FVFIDEs، فرم عملگری معادله (۱.۱) را به شکل زیر در نظر می گیریم:

$$({}^C D_x^\alpha y)(x) = g(x) - \mathcal{K}_1 \mathcal{N}_1 y - \mathcal{K}_2 \mathcal{N}_2 y, \quad (1.6)$$

که در آن:

$$\mathcal{K}_1 \mathcal{N}_1 y = \int_a^x k_1(x, \xi) \mathcal{N}_1(y(\xi)) d\xi, \quad \mathcal{K}_2 \mathcal{N}_2 y = \int_a^b k_2(x, \xi) \mathcal{N}_2(y(\xi)) d\xi.$$

با اعمال عملگر  $I_x^\alpha$  بر دو سوی معادله (۱.۶) خواهیم داشت:

$$y(x) = f(x) + I_x^\alpha [g(x) - \mathcal{K}_1 \mathcal{N}_1 y - \mathcal{K}_2 \mathcal{N}_2 y], \quad (2.6)$$

که در رابطه فوق:

$$f(x) = \sum_{k=0}^{n-1} y^{(k)}(\circ^+) x^k / k!.$$

این معادله را می توان به شکل  $\mathcal{T}y = y$  بیان نمود که در آن  $\mathcal{T}$  به شکل زیر است:

$$\mathcal{T}y(x) = f(x) + I_x^\alpha [g(x) - \mathcal{K}_1 \mathcal{N}_1 y - \mathcal{K}_2 \mathcal{N}_2 y]. \quad (3.6)$$

فرض کنیم  $(C[0, 1], \|\cdot\|_\infty)$  یک فضای باناخ متشکل از همه ی توابع پیوسته با نرم  $\|h\|_\infty = \max_x |h(x)|$  باشد. همچنین گیریم عملگرهای  $\mathcal{N}_1$  و  $\mathcal{N}_2$  در شرط لیپشیتز بر بازه  $[0, 1]$  با ثابت های لیپشیتزی  $J_1$  و  $J_2$  صادق باشند:

$$|\mathcal{N}_1 \tilde{y}(x) - \mathcal{N}_1 y(x)| \leq J_1 |\tilde{y}(x) - y(x)|, \quad |\mathcal{N}_2 \tilde{y}(x) - \mathcal{N}_2 y(x)| \leq J_2 |\tilde{y}(x) - y(x)|.$$

با در نظر گرفتن فرضیات فوق، در قضیه زیر نشان خواهیم داد که معادلات FVFIDEs جواب یکتا دارند.

قضیه ۱.۶. گیریم عملگرهای غیرخطی  $\mathcal{N}_1$  و  $\mathcal{N}_2$  در رابطه زیر صادق باشند

$$J_1 \|\mathcal{N}_1\|_\infty + J_2 \|\mathcal{N}_2\|_\infty < \Gamma(\alpha + 1).$$

آنگاه معادلات FVFIDEs داده شده توسط رابطه (۱.۱) دارای جواب یکتا خواهند بود.



اثبات. گیریم  $\mathcal{T} : C[0, 1] \rightarrow C[0, 1]$  به شکل زیر تعریف شود:

$$\mathcal{T}y(x) = f(x) + \frac{1}{\Gamma(\alpha)} \int_0^x (x - \xi)^{\alpha-1} [g(\xi) - \mathcal{K}_1 \mathcal{N}_1 y(\xi) - \mathcal{K}_2 \mathcal{N}_2 y(\xi)] d\xi. \quad (4.6)$$

همچنین فرض کنیم که  $\tilde{y}, y \in C[0, 1]$  آنگاه برای هر عدد مثبت  $x$  خواهیم داشت:

$$\begin{aligned} & \mathcal{T}\tilde{y}(x) - \mathcal{T}y(x) \\ &= \frac{1}{\Gamma(\alpha)} \int_0^x (x - \xi)^{\alpha-1} [\mathcal{K}_1 \mathcal{N}_1 y(\xi) - \mathcal{K}_1 \mathcal{N}_1 \tilde{y}(\xi) + \mathcal{K}_2 \mathcal{N}_2 y(\xi) - \mathcal{K}_2 \mathcal{N}_2 \tilde{y}(\xi)] d\xi. \end{aligned}$$

بنابراین، رابطه زیر به دست خواهد آمد:

$$\begin{aligned} & |\mathcal{T}\tilde{y}(x) - \mathcal{T}y(x)| \\ & \leq \frac{1}{\Gamma(\alpha)} \int_0^x |x - \xi|^{\alpha-1} [|\mathcal{K}_1| |\mathcal{N}_1 y(\xi) - \mathcal{N}_1 \tilde{y}(\xi)| + |\mathcal{K}_2| |\mathcal{N}_2 y(\xi) - \mathcal{N}_2 \tilde{y}(\xi)|] d\xi \\ & \leq \frac{1}{\Gamma(\alpha)} \int_0^x |x - \xi|^{\alpha-1} [|\mathcal{K}_1| J_1 |\tilde{y}(\xi) - y(\xi)| + |\mathcal{K}_2| J_2 |\tilde{y}(\xi) - y(\xi)|] d\xi \\ & \leq \frac{1}{\Gamma(\alpha)} \int_0^x |x - \xi|^{\alpha-1} [\|\mathcal{K}_1\|_\infty J_1 + \|\mathcal{K}_2\|_\infty J_2] \|\tilde{y}(\xi) - y(\xi)\|_\infty d\xi \\ & \leq \frac{|x|^\alpha}{\Gamma(\alpha + 1)} (\|\mathcal{K}_1\|_\infty J_1 + \|\mathcal{K}_2\|_\infty J_2) \|\tilde{y}(\xi) - y(\xi)\|_\infty \\ & \leq \frac{1}{\Gamma(\alpha + 1)} (\|\mathcal{K}_1\|_\infty J_1 + \|\mathcal{K}_2\|_\infty J_2) \|\tilde{y}(\xi) - y(\xi)\|_\infty. \end{aligned}$$

بنابراین داریم:

$$|\mathcal{T}\tilde{y}(x) - \mathcal{T}y(x)| \leq L \|\tilde{y}(\xi) - y(\xi)\|_\infty$$

که در آن

$$L = \frac{1}{\Gamma(\alpha + 1)} (\|\mathcal{K}_1\|_\infty J_1 + \|\mathcal{K}_2\|_\infty J_2)$$

با استفاده از فرض بیان شده در قضیه داریم که  $0 \leq L < 1$ ، از این رو خواهیم داشت

$$\|\mathcal{T}\tilde{y}(x) - \mathcal{T}y(x)\|_\infty \leq L \|\tilde{y}(\xi) - y(\xi)\|_\infty < \|\tilde{y}(\xi) - y(\xi)\|_\infty.$$

□ از آنجایی که در رابطه بالا داریم  $0 \leq L < 1$ ، بنابه قضیه نگاشت انقباضی، این مسئله دارای جوابی یکتا در  $C[0, 1]$  خواهد بود.

## ۷ مثال‌های عددی

در این بخش، برای نشان دادن قابلیت و کارایی روش مورد مطالعه، آن را در حل چند مسئله به کار می‌گیریم و سپس نتایج به دست آمده را با نتایج روش‌های دیگر مقایسه خواهیم نمود. به منظور نشان دادن بیشینه قدرمطلق خطا (MAE) <sup>۴</sup> از رابطه زیر استفاده کرده‌ایم:

$$MAE = \max_{0 \leq x < 1} \{|y(x) - \tilde{y}(x)|\}.$$

همچنین در مثال دوم، به منظور مقایسه روش با روش‌های دیگر، جذر میانگین مربعات خطا (RMSE) <sup>۵</sup> محاسبه شده است. این خطا عبارت است از:

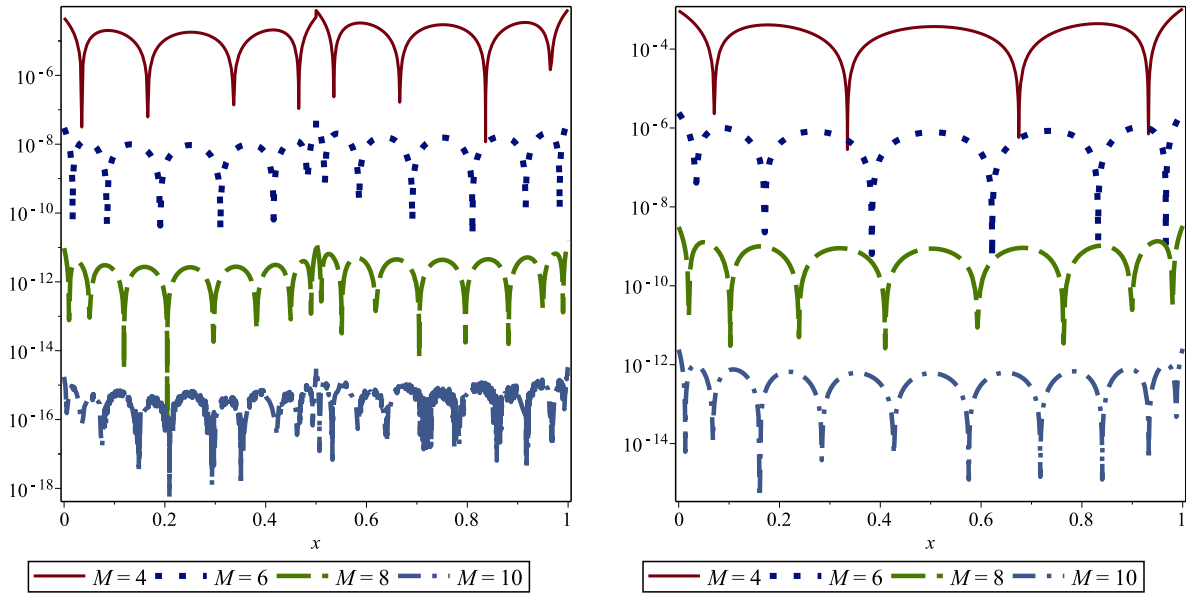
$$RMSE = \sqrt{\int_0^1 [y(x) - \tilde{y}(x)]^2 dx}.$$

<sup>۴</sup> Maximum absolute error  
<sup>۵</sup> Root-mean-square error



جدول ۳: بیشینه قدرمطلق خطای به دست آمده با استفاده از روش GQLWM برای مثال ۱.۷.

$M$	۴	۷	۱۰	۱۳	۱۶	۱۹
MAE $k = 1$	$۴,۴۱E - ۰۴$	$۴,۰۶E - ۰۸$	$۱,۰۳E - ۱۲$	$۴,۰۲E - ۱۶$	$۳,۰۱E - ۲۳$	$۱,۵۷E - ۲۸$
MAE $k = 2$	$۷,۶۸E - ۰۵$	$۹,۴۱E - ۱۰$	$۳,۰۵E - ۱۵$	$۳,۹۶E - ۲۱$	$۲,۵۵E - ۲۷$	$۱,۶۱E - ۳۴$
MAE $k = 3$	$۵,۴۶E - ۰۶$	$۸,۲۳E - ۱۲$	$۳,۳۹E - ۱۸$	$۵,۴۹E - ۲۵$	$۴,۴۲E - ۳۲$	$۲,۰۲E - ۳۹$



شکل ۱: نمایش قدرمطلق خطا برای مثال ۱.۷ برای مقادیر مختلف از  $M$ . (آ) زمانی که  $k = 1$  و (ب) زمانی که  $k = 2$

شکل ۱: نمایش قدرمطلق خطا برای مثال ۱.۷ برای مقادیر مختلف از  $M$ . (آ) زمانی که  $k = 1$  و (ب) زمانی که  $k = 2$

مثال ۲.۷. معادله انتگرال - دیفرانسیل کسری زیر را در نظر می‌گیریم

$$({}^C D_x^\alpha y)(x) = g(x) + \int_0^1 x\xi [y(\xi)]^\alpha d\xi, \quad y(0) = 0, \quad (2.7)$$

که در آن  $0 < \alpha \leq 1$  و  $g(x)$  توسط رابطه زیر بیان شده است:

حالت اول [۱۸]:  $g(x) = \frac{4}{3}\Gamma(\frac{3}{4})^{-1}x^{\frac{3}{4}} - \frac{1}{4}x$  با  $\alpha = \frac{1}{4}$  که جواب دقیق آن به شکل  $y(x) = x$  است.  
 حالت دوم [۱۸]:  $g(x) = \frac{24}{15}\Gamma(\frac{2}{3})\frac{\sqrt{x}}{\pi}x^{\frac{2}{3}} - \frac{1}{8}x$  با  $\alpha = \frac{2}{3}$  که جواب دقیق آن به شکل  $y(x) = x^3$  است.  
 حالت سوم [۲۹]:  $g(x) = 1 - \frac{1}{4}x$  با  $\alpha = 1$  که جواب دقیق آن به شکل  $y(x) = x$  است.

روش بیان شده در بخش ۴ را در حل این مسئله به کار می‌گیریم. نتایج در جدول‌های ۴، ۵ و ۶ برای مقادیر مختلفی از  $M$  و  $k$  درج شده‌اند. در این جدول‌ها، بیشینه قدرمطلق خطای  $y(x)$  حاصل شده از روش GQLWM با  $k = 1$  و مقادیر مختلفی از  $M$  و  $\alpha$  با خطای حاصل از روش CWM [۱۸] برای دو حالت اول و دوم مقایسه شده‌اند. نتایج حاصل شده نشان‌دهنده قابلیت و اعتبار روش GQLWM در مقایسه با روش CWM است. نمایش هندسی توابع قدرمطلق خطا برای مقادیر مختلف از  $M$  و  $k$  با در نظر گرفتن  $\alpha = 1/4$ ,  $\alpha = 1$  و  $\alpha = 3/4$  به ترتیب در شکل‌های ۲، ۳ و ۴ به نمایش درآمده است. این شکل‌ها بیان‌گر آن‌اند که با افزایش مقدار  $M$ ، خطا کاهش یافته است. در جدول ۶ جذر میانگین مربعات خطا RMSE حاصل شده از روش GQLWM با نتایج به دست آمده از مرجع [۲۹] برای مقادیر مختلف از  $M$  و  $k$  با فرض  $\alpha = 1$  مقایسه شده‌اند. بنابه نتایج درج شده در جدول، برای مقدار معینی از  $k$ ، با افزایش مقدار  $M$  درجه دقت افزایش یافته و به همین ترتیب برای مقدار معینی از  $M$  با افزایش مقدار  $k$ ، درجه دقت افزایش یافته است. بنا براین، روش GQLWM در حل این مسئله بسیار موثر بوده و نسبت به روش CWM بیان شده در [۲۹] دارای دقت بالاتری است.

مثال ۳.۷. [۲۰] معادله انتگرال-دیفرانسیل غیرخطی کسری با هسته منفرد زیر را در نظر می‌گیریم:

$$({}^C D_x^{\frac{1}{2}} y)(x) = g(x) + \int_0^x (xy'(\xi) + (x - \xi)^{-\frac{1}{2}}[y(\xi)]^2) d\xi, \quad (3.7)$$

جدول ۴: مقایسه بین روش مورد مطالعه و روش CWM [۱۸] برای مثال ۲.۷ در حالت‌های اول و دوم زمانی که  $k = 1$  و  $\alpha = \frac{3}{4}$ .

$x$	خطای [18]	GQLWM		
	$M = 19$	$M = 13$	$M = 16$	$M = 19$
۰/۰	$1,68E - 20$	۰/۰۰	۰/۰۰	۰/۰۰
۰/۱	$9,06E - 13$	$1,75E - 13$	$1,85E - 16$	$1,27E - 20$
۰/۲	$3,99E - 12$	$4,05E - 12$	$7,53E - 17$	$3,92E - 23$
۰/۳	$1,03E - 11$	$3,76E - 12$	$1,47E - 16$	$1,49E - 20$
۰/۴	$2,10E - 11$	$2,21E - 12$	$1,53E - 16$	$1,06E - 20$
۰/۵	$3,73E - 11$	$8,35E - 14$	$1,48E - 16$	$1,83E - 22$
۰/۶	$6,05E - 11$	$2,38E - 12$	$1,42E - 16$	$1,04E - 20$
۰/۷	$9,16E - 11$	$3,92E - 12$	$1,23E - 16$	$1,51E - 20$
۰/۸	$1,31E - 10$	$4,23E - 12$	$1,48E - 16$	$3,71E - 22$
۰/۹	$1,82E - 10$	$3,11E - 13$	$1,67E - 17$	$1,32E - 20$
۱/۰	$2,45E - 10$	۰/۰۰	۰/۰۰	۰/۰۰

جدول ۵: مقایسه بین روش مورد مطالعه و روش CWM [۱۸] برای مثال ۲.۷ در حالت‌های اول و دوم زمانی که  $k = 1$  و  $\alpha = \frac{1}{4}$ .

$x$	خطای [18]	GQLWM		
	$M = 19$	$M = 13$	$M = 16$	$M = 19$
۰/۰	$7,92E - 21$	۰/۰۰	۰/۰۰	۰/۰۰
۰/۱	$6,57E - 18$	$6,53E - 16$	$4,00E - 19$	$2,51E - 24$
۰/۲	$3,62E - 18$	$5,89E - 15$	$1,63E - 19$	$2,91E - 25$
۰/۳	$2,65E - 18$	$5,44E - 15$	$3,80E - 19$	$6,18E - 24$
۰/۴	$2,11E - 18$	$3,41E - 15$	$4,19E - 19$	$4,08E - 24$
۰/۵	$1,85E - 18$	$4,07E - 16$	$4,25E - 19$	$2,29E - 25$
۰/۶	$1,65E - 18$	$2,61E - 15$	$4,28E - 19$	$4,33E - 24$
۰/۷	$1,49E - 18$	$4,63E - 15$	$3,94E - 19$	$5,92E - 24$
۰/۸	$1,40E - 18$	$7,04E - 16$	$1,81E - 19$	$1,23E - 25$
۰/۹	$1,07E - 18$	$4,98E - 15$	$5,10E - 19$	$4,92E - 24$
۱/۰	$5,42E - 17$	۰/۰۰	۰/۰۰	۰/۰۰

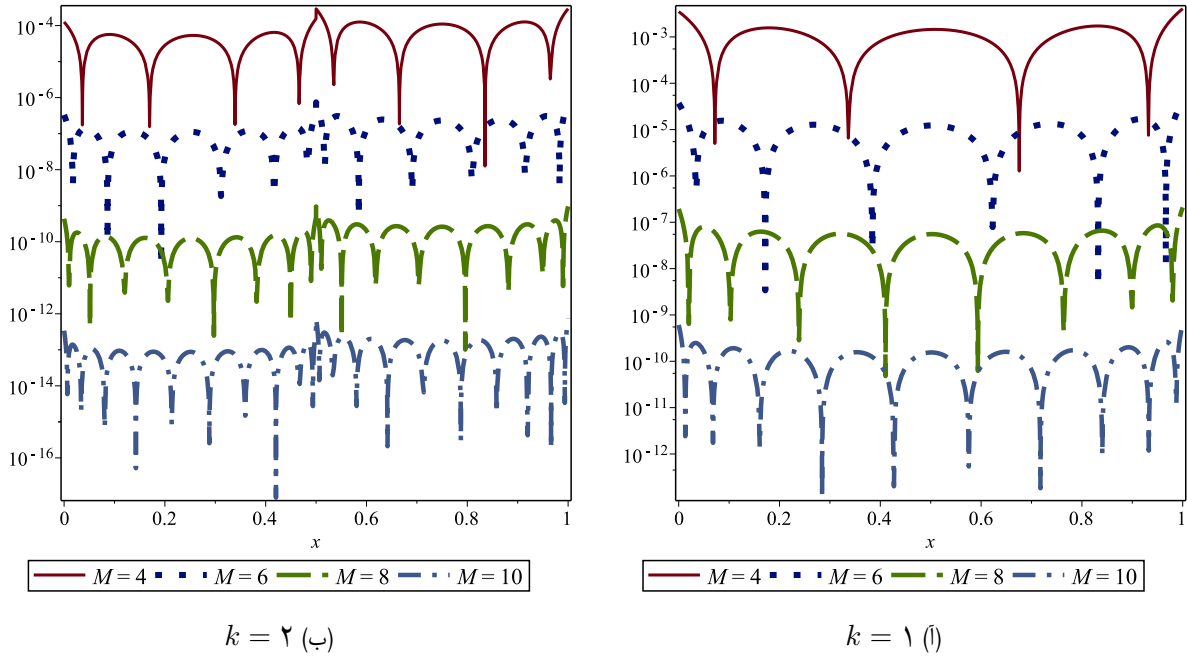
جدول ۶: مقایسه RMSE برای برخی مقادیر از  $k$  و  $M$  از روش GQLWM و روش موجک چبیشف نوع دوم [۲۹] برای مثال ۲.۷ در حالت سوم.

$M$	روش بیان شده در [29]	روش GQLWM			
	۲	۲	۶	۱۰	۱۴
$k = 3$	$2,970E - 07$	$2,348E - 09$	$4,236E - 11$	$1,003E - 12$	$1,320E - 13$
$k = 4$	$1,861E - 08$	$7,391E - 10$	$9,863E - 13$	$4,002E - 15$	$7,5691E - 17$
$k = 5$	$1,164E - 09$	$8,541E - 12$	$8,786E - 16$	$9,251E - 18$	$2,015E - 20$

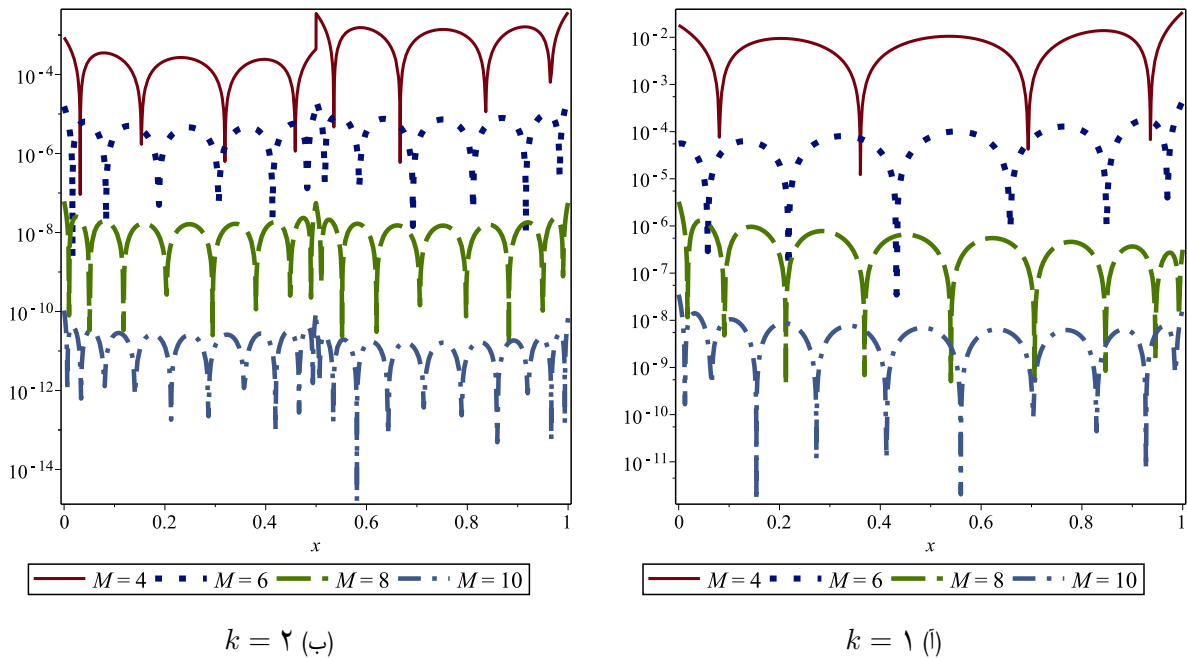
که در آن

$$g(x) = \frac{3\Gamma\left(\frac{1}{4}\right)}{4\Gamma\left(\frac{11}{4}\right)} x^{\frac{8}{5}} - x^{\frac{6}{5}} - \frac{32}{35} x^{\frac{7}{5}},$$

معادله فوق با شرط اولیه  $y(0) = 0$  دارای جواب دقیق به شکل  $y(x) = x\sqrt{x}$  است. با استفاده از روش بیان شده در بخش ۴ مساله را برای مقادیر مختلف از  $M$  و  $k$  حل کرده و نتایج به دست آمده را در جداول ۷ و ۸ درج نمودیم. در جدول ۷ مقدار قدرمطلق خطا در نقاط مختلف از  $x$  محاسبه شده است. در این جدول همچنین روش GQLWM با روش MHFS [۲۰] مقایسه شده است. در جدول ۸ بیشینه خطای

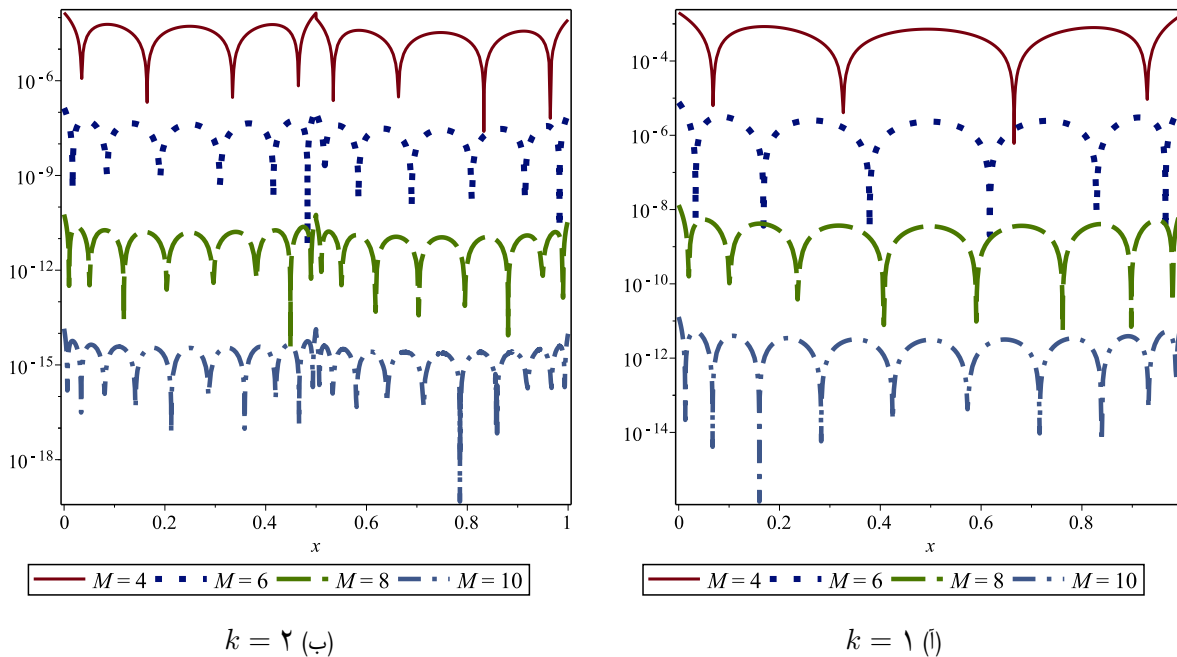


شکل ۲: نمایش هندسی توابع قدرمطلق خطا برای مثال ۲.۷ با  $\alpha = \frac{1}{4}$  و مقادیر مختلف از  $k$  و  $M$



شکل ۳: نمایش هندسی توابع قدرمطلق خطا برای مثال ۲.۷ با  $\alpha = \frac{3}{4}$  و مقادیر مختلف از  $k$  و  $M$

به دست آمده از روش GQLWM با نرم خطای به دست آمده از روش MHFS مقایسه شده است. با توجه به نتایج به دست آمده از جدول های ۷ و ۸ مشاهده می شود که روش GQLWM دارای دقت مناسب بوده و کارایی این روش با افزایش مقادیر  $M$  و  $k$  افزایش می یابد. در شکل ۵ قدرمطلق خطا از  $y(x)$  برای مقادیر مختلف از  $M$  و  $k$  به طور هندسی به نمایش گذاشته شده است. بنابه نتایج به دست آمده از شکل ها و جدول ها مشاهده می شود که مقدار خطا با افزایش مقادیر  $M$  و  $k$  به طور چشم گیری کاهش یافته است.



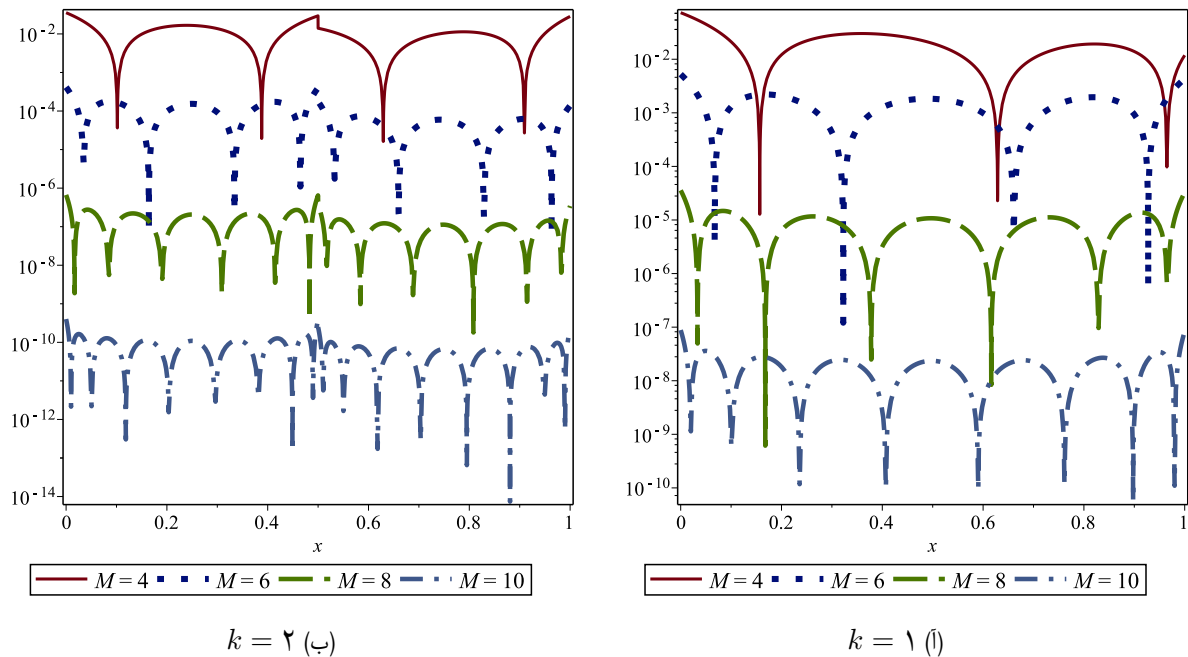
شکل ۴: نمایش هندسی توابع قدرمطلق خطا برای مثال ۲.۷ با  $\alpha = 1$  و مقادیر مختلف از  $M$  و  $k$

جدول ۷: مقایسه قدرمطلق خطای روش GQLWM با روش MHFs [۲۰] برای برخی مقادیر از  $k$  و  $M$  برای مثال ۳.۷

$x$		$0$	$0.25$	$0.5$	$0.75$	$1.0$
روش [20]	$n = 8$	$0.00000$	$5.69812E - 04$	$8.56779E - 04$	$1.422594E - 03$	$3.30803E - 03$
	$n = 16$	$0.00000$	$1.84256E - 04$	$2.20346E - 04$	$3.67651E - 04$	$8.84780E - 04$
	$n = 32$	$0.00000$	$5.27913E - 05$	$6.05455E - 05$	$1.01259E - 04$	$2.46509E - 04$
	$n = 64$	$0.00000$	$1.49408E - 05$	$1.69314E - 05$	$2.83408E - 05$	$6.92324E - 05$
روش GQLWM $k = 1$	$M = 13$	$0.00000$	$1.11551E - 10$	$2.04795E - 11$	$2.69517E - 11$	$2.07596E - 11$
	$M = 16$	$0.00000$	$1.27756E - 15$	$2.21719E - 16$	$9.10568E - 18$	$2.16755E - 16$
	$M = 19$	$0.00000$	$1.62161E - 20$	$2.39640E - 21$	$3.15203E - 21$	$2.41458E - 21$
روش GQLWM $k = 2$	$M = 13$	$0.00000$	$1.25417E - 13$	$3.07371E - 14$	$8.17454E - 14$	$1.97553E - 14$
	$M = 16$	$0.00000$	$8.14153E - 20$	$6.37314E - 22$	$2.24183E - 19$	$4.32243E - 22$
	$M = 19$	$0.00000$	$2.80020E - 25$	$5.48617E - 26$	$1.94348E - 25$	$3.78041E - 26$

جدول ۸: مقایسه بیشینه قدرمطلق خطای به‌دست‌آمده با استفاده از روش GQLWM و روش MHFs [۲۰] برای مثال ۳.۷

روش [20]		خطای روش GQLWM			
$n$	نرم خطا	$M$	$k = 1$	$k = 2$	$k = 3$
۲	$7.09303E - 02$	۲	$7.38944E - 02$	$3.55321E - 02$	$9.54120E - 03$
۴	$1.39991E - 02$	۴	$1.18261E - 02$	$1.00020E - 02$	$2.74188E - 04$
۸	$3.30803E - 03$	۶	$3.57647E - 05$	$1.08614E - 06$	$6.53067E - 07$
۱۶	$8.84780E - 04$	۸	$1.40621E - 06$	$6.67030E - 07$	$1.38541E - 10$
۳۲	$2.46509E - 04$	۱۰	$8.82231E - 08$	$4.01799E - 10$	$1.62726E - 12$
۶۴	$6.92324E - 05$	۱۲	$2.26487E - 09$	$6.38802E - 12$	$1.39336E - 14$
۱۲۸	$2.42498E - 05$	۱۴	$2.11062E - 12$	$1.48427E - 15$	$8.10854E - 19$
۲۵۶	$8.57216E - 06$	۱۶	$1.27756E - 15$	$2.24183E - 19$	$3.06537E - 23$
۵۱۲	$3.03035E - 06$	۱۸	$5.41724E - 19$	$2.37317E - 23$	$8.11905E - 28$
۱۰۲۴	$1.07144E - 06$	۲۰	$1.69710E - 22$	$1.85663E - 27$	$1.58892E - 32$



شکل ۵: نمایش هندسی توابع قدرمطلق خطا برای مثال ۳.۷ با  $\alpha = 1$  و مقادیر مختلف از  $M$  و  $k$

## ۸ نتیجه گیری

در این مقاله، روش موجک لژاندر مربعی گاوس که تکنیکی کارا برای حل عددی جواب معادلات انتگرال-دیفرانسیل ولترا-فردهلم کسری است، پیشنهاد گردید. با به کارگیری این روش، سیستم معادلات انتگرال-دیفرانسیل ولترا-فردهلم کسری به یک سیستم از معادلات جبری تبدیل شد. به منظور حل دستگاه جبری تولیدشده، فرمول انتگرال مربعی گاوس با عملکرد تابع وزن لژاندر به کار گرفته شد. با حل دستگاه غیرخطی حاصل شده، جواب عددی به دست آمد. به علاوه، همگرایی و تحلیل خطا، وجود و یکتایی برای روش یادشده مورد بحث و بررسی قرار گرفت. بنابه نتایج حاصل شده مشهود بود که به ازای مقدار معینی از  $k$ ، با افزایش مقدار  $M$  دقت روش موجک لژاندر مربعی گاوس افزایش یافته و به طور مشابه به ازای مقدار معینی از  $M$ ، با افزایش مقدار  $k$  دقت این روش افزایش یافته است. روش موجک لژاندر مربعی گاوس برای دو مثال عددی آزمایش گردید و نتایج به دست آمده با برخی روش‌های معروف دیگری مقایسه شدند. این مقایسه‌ها نشان دادند که این روش، تکنیکی قدرتمند و مناسب برای حل معادلات انتگرال-دیفرانسیل ولترا-فردهلم کسری است و نتایج به دست آمده از آن دقت بالایی دارند.

## فهرست منابع

- [1] Abbasbandy S, Hashemi M. and Hashim I., *On convergence of homotopy analysis method and its application to fractional integro-differential equations*, Quaest. Math. **36** (2013) 93–105.
- [2] Alkan S. and Hatipoglu V. F., *Approximate solutions of volterra-fredholm integro-differential equations of fractional order*, Tbil. Math. J. **10** (2017) 1–13.
- [3] Amin R, Shah K, Asif M, Khan I. and Ullah F., *An efficient algorithm for numerical solution of fractional integro-differential equations via Haar wavelet*, J. Comput. Appl. Math. **381** (2021) 113–128.
- [4] Bhrawy A, Zaky M. and Van Gorder R. A., *A space-time legendre spectral tau method for the two-sided space-time caputo fractional diffusion-wave equation*, Numer. Algorithms. **71** (2016) 151–180.
- [5] Erfanian M, Gachpazan M. and Beiglo H., *A new sequential approach for solving the integro-differential equation via haar wavelet bases*, Comput. Math. & Math. Phys. **57** (2017) 297–305.

- [6] Guner O. and Bekir A., *Exp-function method for nonlinear fractional differential equations*, Nonlinear. Sci. Lett. A. **8** (2017) 41–49.
- [7] Hamoud A. and Ghadle K., *The reliable modified of laplace adomian decomposition method to solve nonlinear interval volterra-fredholm integral equations*, Korean. J. Math. **25** (2017) 323–334.
- [8] Heris J. M., *Solving the integro-differential equations using the modified laplace adomian decomposition method*, J. Math. Ext. **6** (2012) 1–15.
- [9] Hesameddini E, Rahimi A. and Asadollahifard E., *On the convergence of a new reliable algorithm for solving multi-order fractional differential equations*, Commun. Nonlinear. Sci. Numer. Simul. **34** (2016) 154–164.
- [10] Hesameddini E. and Riahi M., *Bernoulli galerkin matrix method and its convergence analysis for solving system of volterra-fredholm integro-differential equations*, Iran. J. Sci. Technol. A. **43** (2018) 1203–1214.
- [11] Hesameddini E, Riahi M. and Latifzadeh H., *A coupling method of homotopy technique and laplace transform for nonlinear fractional differential equations*, Int. J. Adv. Appl. Sci. **1** (2012) 159-170.
- [12] Hesameddini E. and Shahbazi M., *Hybrid bernstein block-pulse functions for solving system of fractional integro-differential equations*, Int. J. Comput. Math. **95** (2018) 2287–2307.
- [13] He S, Sun K. and Wang H., *Dynamics of the fractional-order lorenz system based on adomian decomposition method and its DSP implementation*, IEEE/CAA Journal of Automatica Sinica (2016) 1–6.
- [14] Jahanshahi M., *numerical solution of nonlinear fractional volterra-fredholm integro-differential equations with mixed boundary conditions*, Int. J. Ind. Math. **7** (2015) 63–69.
- [15] Liu Z, Cheng A. and Li X., *A second-order finite difference scheme for quasi-linear time fractional parabolic equation based on new fractional derivative*, Int. J. Comput. Math. **95** (2017) 396–411.
- [16] Mahdy A. M. and Mohamed E. M., *Numerical studies for solving system of linear fractional integro-differential equations by using least squares method and shifted chebyshev polynomials*, J. Abstr. Comput. Math. **1** (2016) 24–32.
- [17] Modanli M. and Akgül A., *On Solutions of Fractional order Telegraph partial differential equation by Crank-Nicholson finite difference method*, Appl. Math. Non. Sci. **31** (2020) 163–170.
- [18] Mohyud-Din S. T, Khan H, Arif M. and Rafiq M., *Chebyshev wavelet method to nonlinear fractional volterra-fredholm integro-differential equations with mixed boundary conditions*, Adv. Mech. Eng. **9** (2017) 1–8.
- [19] Nazari D. and Shahmorad S., *Application of the fractional differential transform method to fractional-order integro-differential equations with nonlocal boundary conditions*, J. Comput. Appl. Math. **234** (2010) 883–891.
- [20] Nemati S. and Lima P. M., *Numerical solution of nonlinear fractional integro-differential equations with weakly singular kernels via a modification of hat functions*, Appl. Math. Comput, **327** (2018) 79–92.
- [21] Ordokhani Y. and Rahimi N., *Numerical solution of fractional volterra integro-differential equations via the rationalized haar functions*, J. Sci. Kharazmi. Univ. **14** (2014) 211-224.



- [22] Pirim N. A. and Ayaz F., *A new technique for solving fractional order systems: Hermite collocation method*, Appl. Math. **7** (2016) 2307.
- [23] Singh B. K., *Homotopy perturbation new integral transform method for numeric study of space-and time-fractional  $(n+ 1)$ -dimensional heat-and wave-like equations*, Waves, Wavelets and Fractals, **4** (2018) 19–36.
- [24] Sun H, Zhao X. and Sun Z. Z., *The temporal second order difference schemes based on the interpolation approximation for the time multi-term fractional wave equation*, J. Sci. Comput. **78** (2019) 467–498.
- [25] Sweilam N, Nagy A, Youssef I. K. and Mokhtar M. M., *New spectral second kind chebyshev wavelets scheme for solving systems of integro-differential equations*, Int. J. Appl. Comput. **3** (2017) 333–345.
- [26] Wang Y. and Zhu L., *Solving nonlinear volterra integro-differential equations of fractional order by using euler wavelet method*, Adv. Differ. Equ. **2017** (2017) 1–16.
- [27] Yang X, Zhang H. and Tang Q., *A spline collocation method for a fractional mobile-immobile equation with variable coefficients*, Comput. Appl. Math. **39** (2020) 1–20.
- [28] Yin X. B, Kumar S. and Kumar D., *A modified homotopy analysis method for solution of fractional wave equations*, Adv. Mech. Eng. **7** (2015) 1–8.
- [29] Zhu L. and Fan Q., *Solving fractional nonlinear fredholm integro-differential equations by the second kind chebyshev wavelet*, Commun. Nonlinear. Sci. Numer. Simul. **17** (2012) 2333–2341.



## Application of Legendre wavelet method coupled with the Gauss quadrature rule for solving fractional integro-differential equations

Mohsen Riahi Beni<sup>1, ††</sup>

<sup>(1)</sup> Department of Mathematics, Higher Education Complex of Saravan, Saravan, Iran

Received: 2021/3/10

Accepted: 2021/7/23

Communicated by: Abdolrahman Razani

**Abstract:** In this work, we propose a novel technique for solving the nonlinear fractional Volterra-Fredholm integro-differential equations (FVFIDEs). This method approximates the unknown function with the Legendre wavelets. To do this, the Legendre wavelets are used in conjunction with the quadrature rule for converting the problem into a linear or nonlinear system of algebraic equations which can be easily solved by applying the mathematical programming techniques. Furthermore, the existence and uniqueness of the solution are proved by preparing some theorems and lemmas. Also, the error estimate and convergence analysis of the method will be shown. Moreover, some examples are presented and their results are compared to the results of Chebyshev wavelet, modification of hat functions, Nyström and Newton-Kantorovitch methods to show the capability and accuracy of this scheme.

**Keywords:** Legendre wavelet, Gaussian quadrature, collocation method, fractional Volterra-Fredholm integro-differential equations.



©2021 Shahid Chamran University of Ahvaz, Ahvaz, Iran. This article is an open access article distributed under the terms and conditions of the Creative Commons Attribution-NonCommercial 4.0 International (CC BY-NC 4.0 license) (<http://creativecommons.org/licenses/by-nc/4.0/>).

<sup>††</sup>Corresponding author.  
*m.riahi@saravan.ac.ir*: (M. Riahi Beni)